Общая тема:

АКТИВНЫЕ ОКРАИНЫ КОНТИНЕНТОВ

Лекция № 28

Происхождение андезитов: обзор гипотез

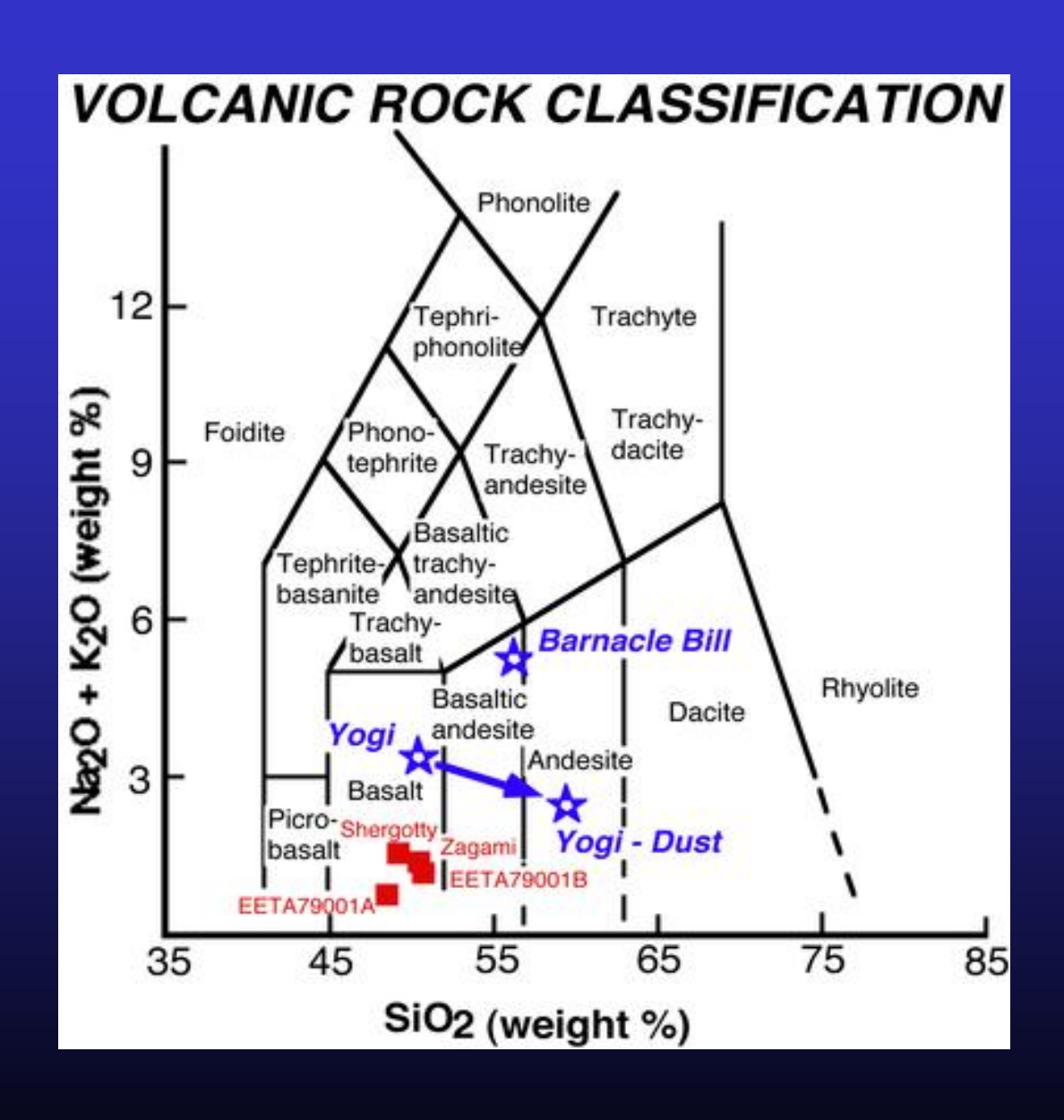
- 1. Внутрикоровые процессы
- 2. Мантийные
- 3. Многостадийные мантийно-коровые

Результаты миссии Mars Pathfinder - APXS

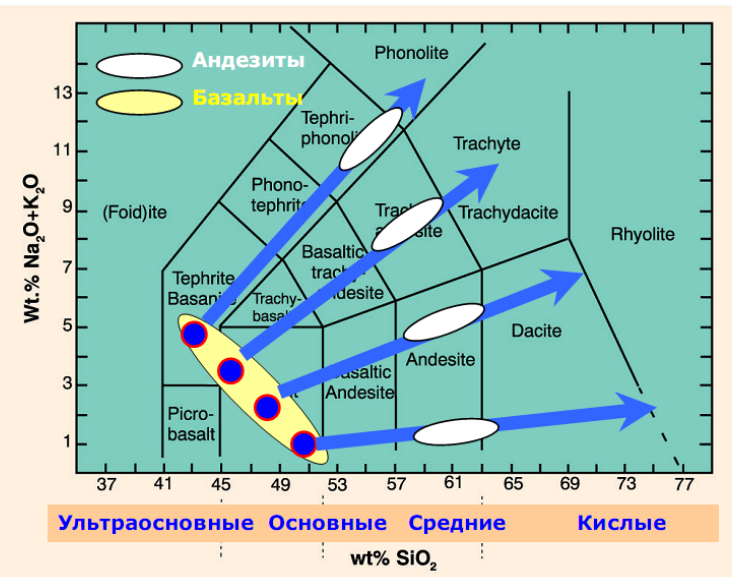


Окислы	А-2, Грунт	А-4, Грунт	A-5, Грунт	А-3, Камень ВВ	А-7, Камень Yogi
SiO ₂	46.1	43.3	43.8	55.0	50.9
Al_2O_3	8.0	10.4	10.1	12.4	11.4
FeO	19.5	14.5	17.5	12.7	13.8
MgO	8.7	9.0	8.6	3.1	6.3
CaO	6.3	4.8	5.3	4.6	5.8
Na ₂ O	4.3	5.1	3.6	4.2	2.5
$K_2\bar{O}$	0.6	0.7	0.7	1.4	1.1
MnO	0.5	0.5	0.6	0.9	0.5
TiO ₂	1.1	1.1	0.7	0.7	8.0
SO ₃	4.3	6.2	5.4	2.2	4.2

Результаты миссии Mars Pathfinder - APXS

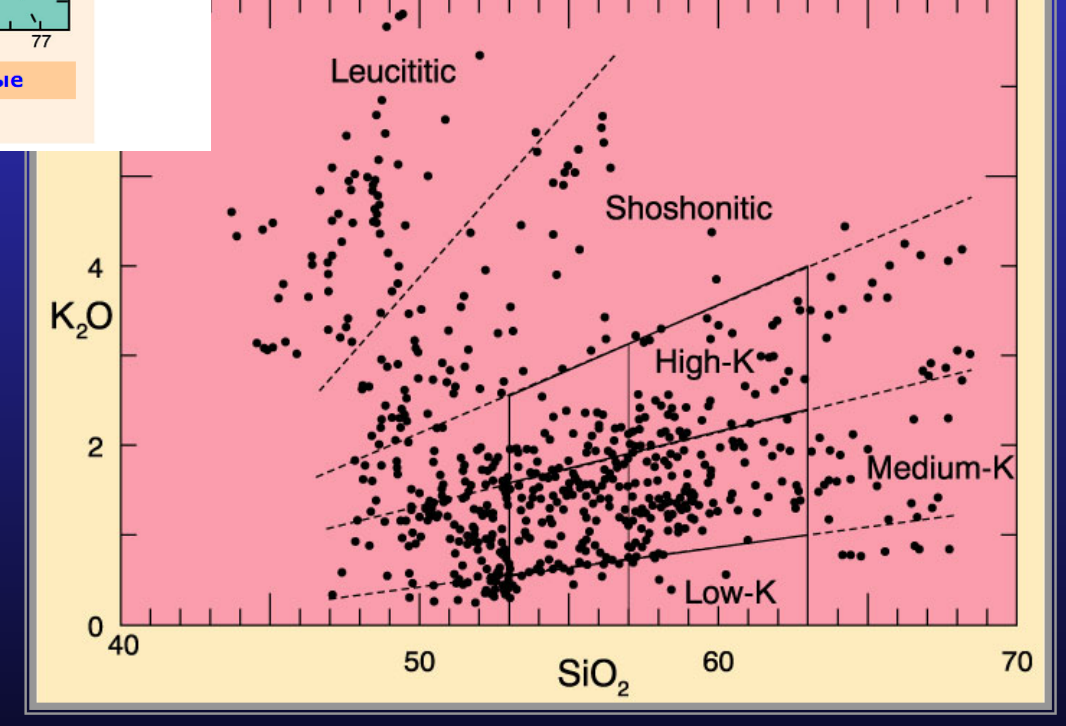


БАЗАЛЬТЫ КАК ПРИМИТИВНЫЙ МАТЕРИАЛ ИЛИ ИСТОЧНИК (ИСХОДНЫЕ РАСПЛАВЫ) ДЛЯ МАГМАТИЧЕСКИХ СЕРИЙ



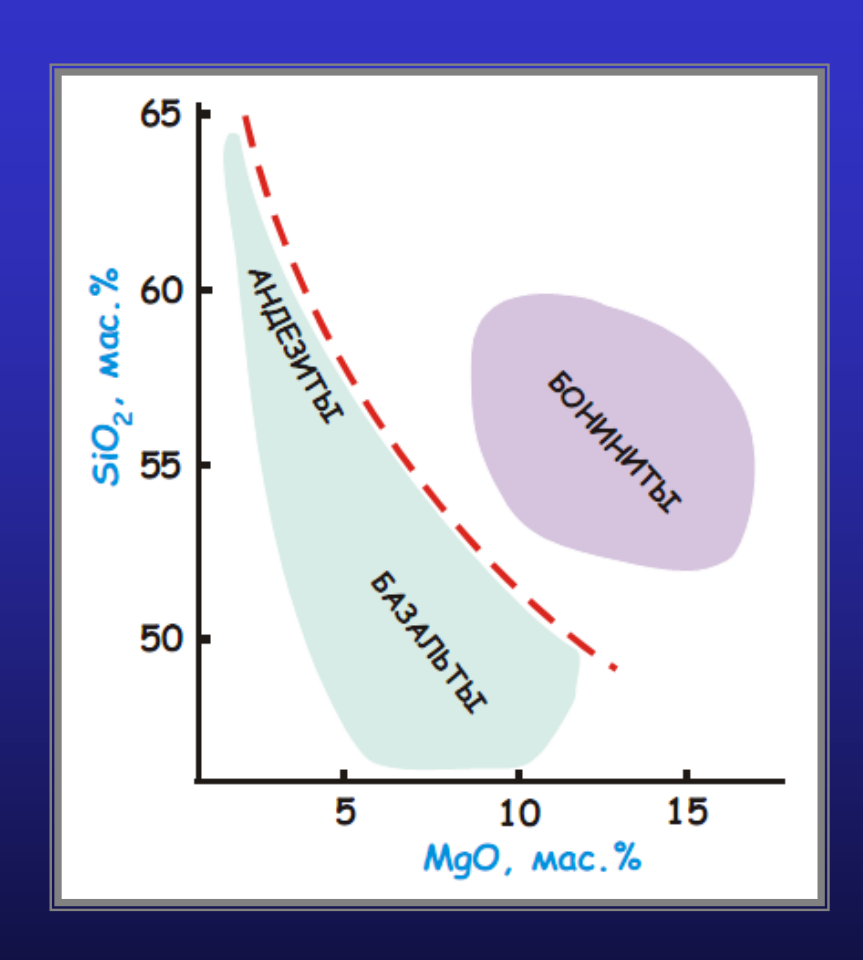
Разнообразие андезитов

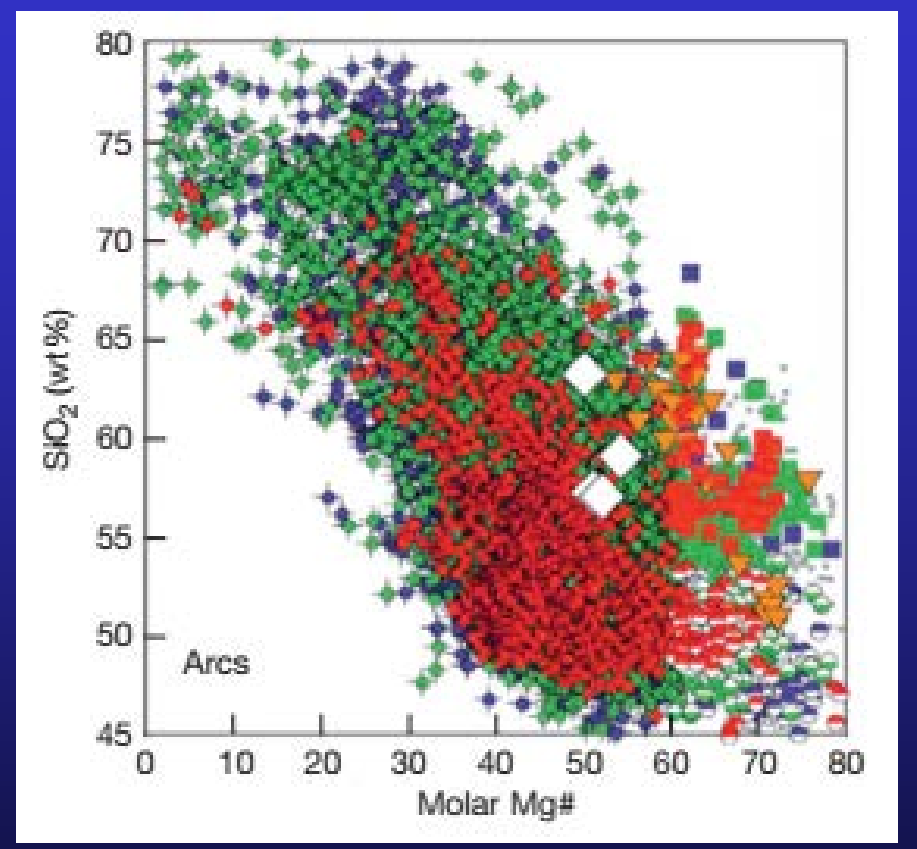
Разнообразные андезиты как продукты фракционирования базальтовых магм разных генетических типов

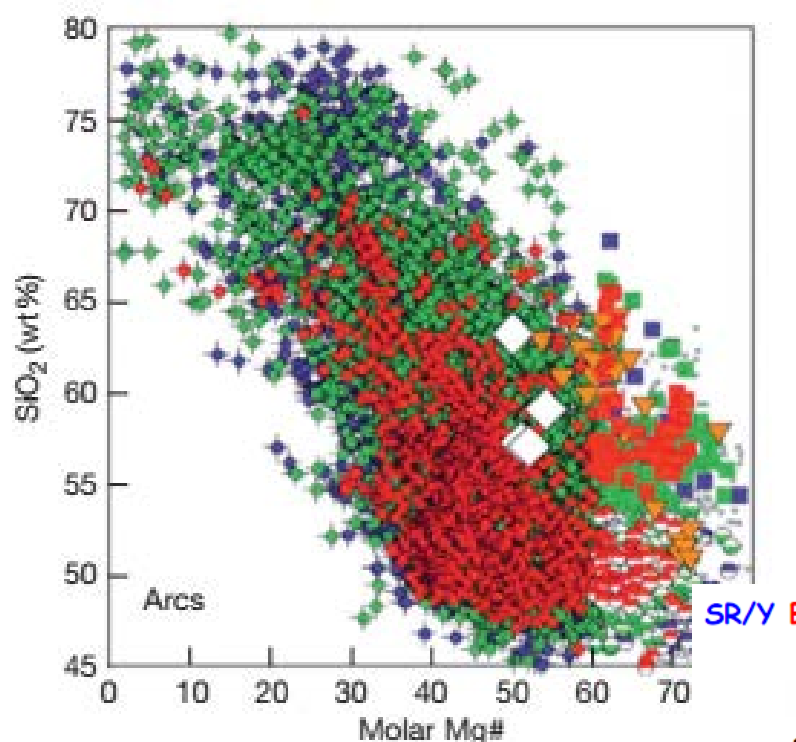


Дополнительные подразделения андезитов на диаграмме K2O-SiO2

Разнообразие андезитов



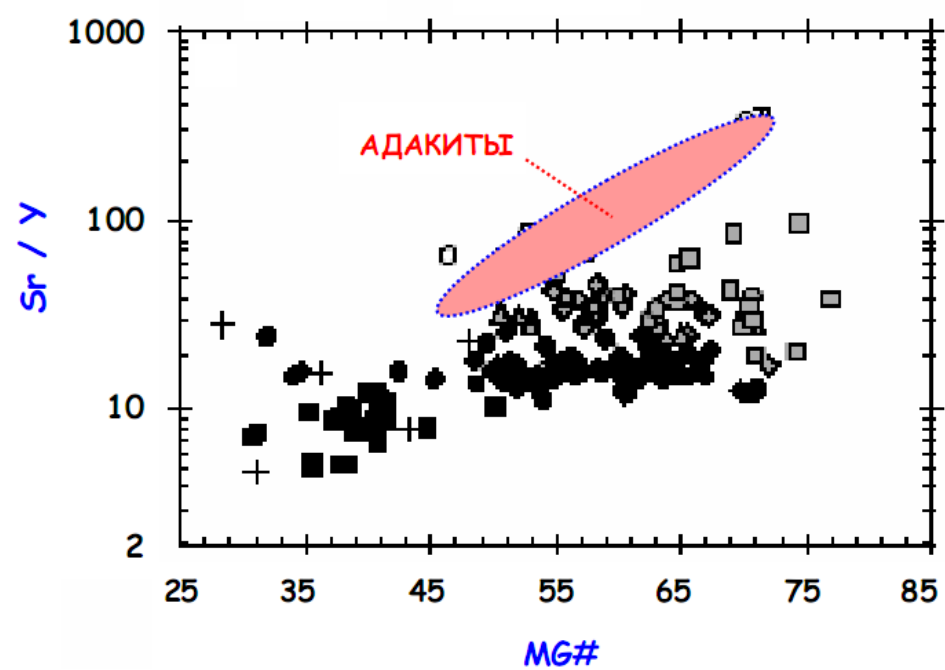




Разнообразие андезитов

Дополнительная типизация андезитов учетом магнезиальности Mg#

SR/Y В АЛЕУТСКИХ АДАКИТАХ И ВУЛКАНИТАХ ВОСТОЧНОЙ КАМЧАТКИ В ЗАВИСИМОСТИ ОТ МАГНЕЗИАЛЬНОСТИ



Значение геохимических отличий на примере адакитов

Возможные генетические схемы и условия образования андезитовых магм

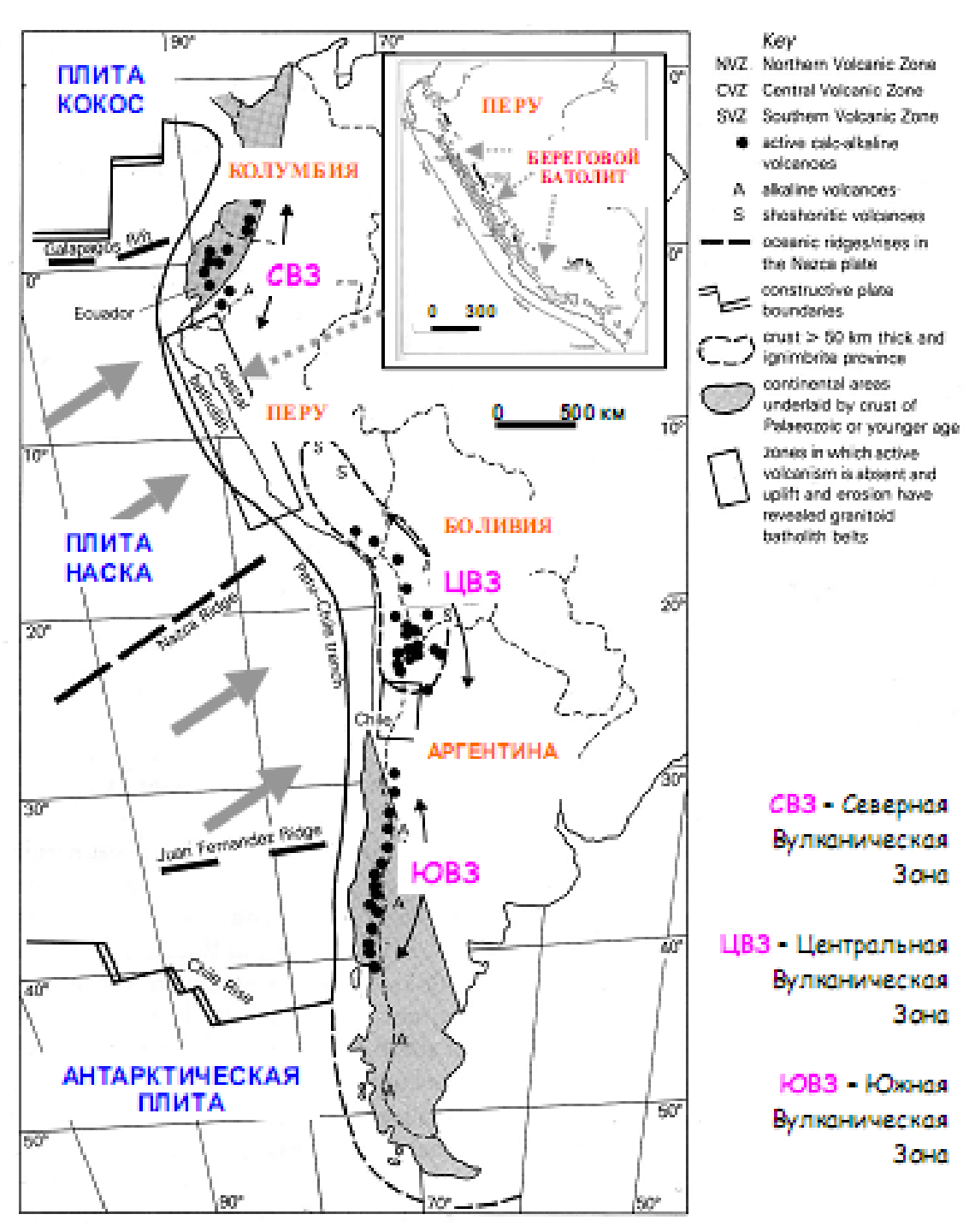


Процессы образования андезитов делим на:

- 1. Внутрикоровые
- 2. Мантийные
- 3. Многостадийные мантийно- коровые

Внутрикоровые процессы образования андезитов

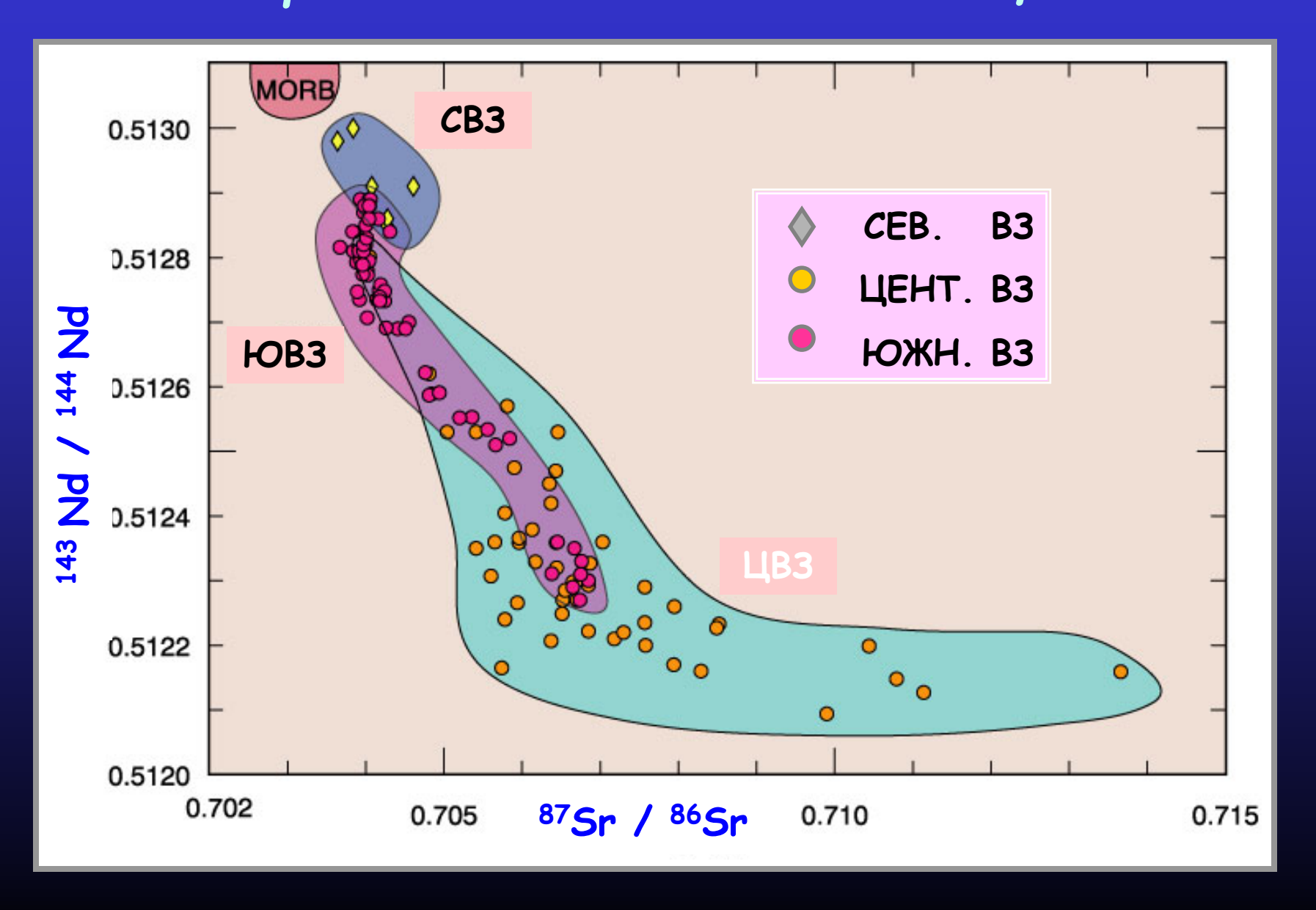
- 1. Ассимиляция базальтовой магмой кислого материала континентальной коры
- 2. Смешение базальтов и дацитриолитовых расплавов
- 3. Фракционирование базальтовых магм <u>в коровых</u> очагах



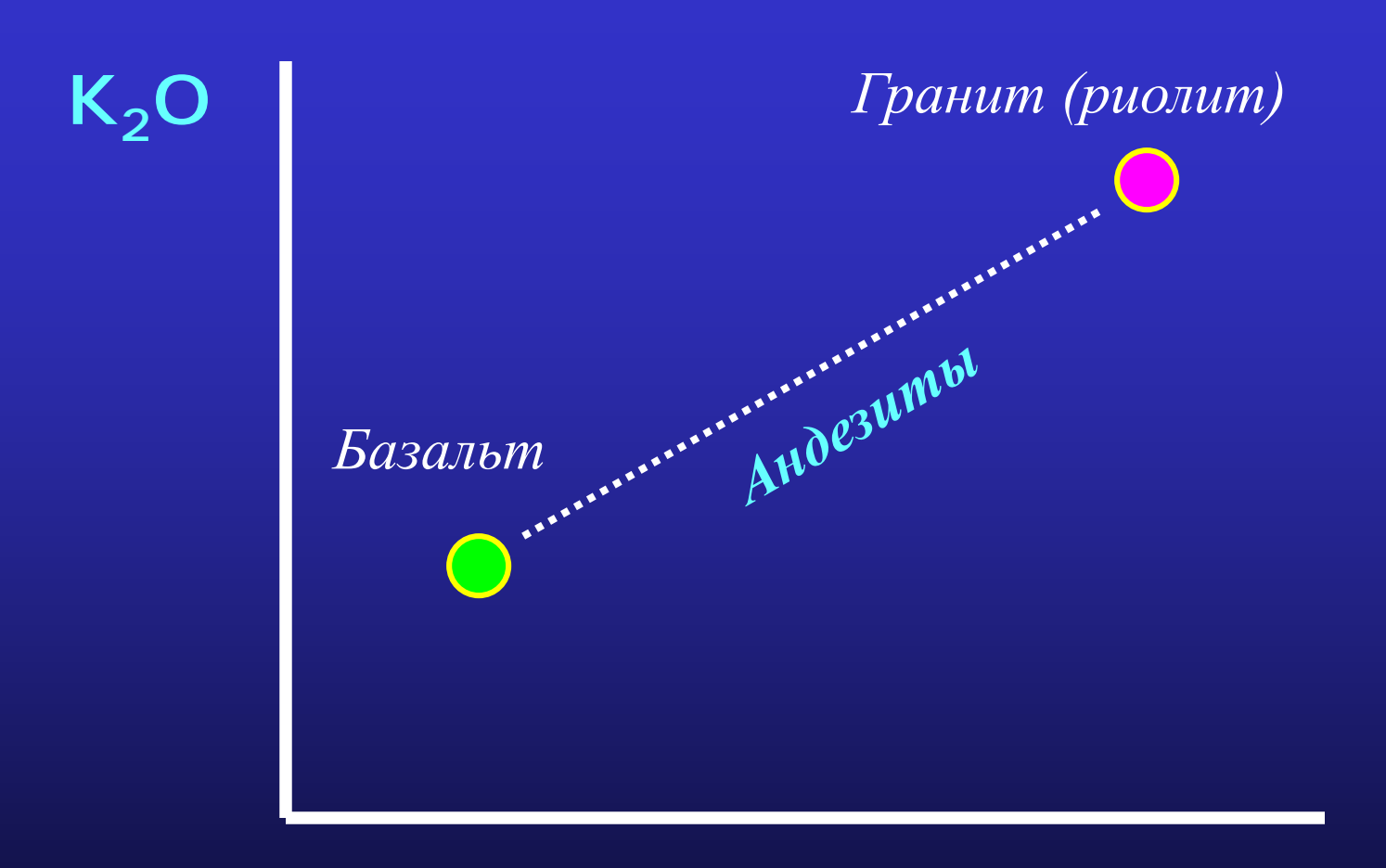
АССИМИЛЯЦИЯ:

вспоминаем андезитовые вулканы вдоль Андских Кордильер

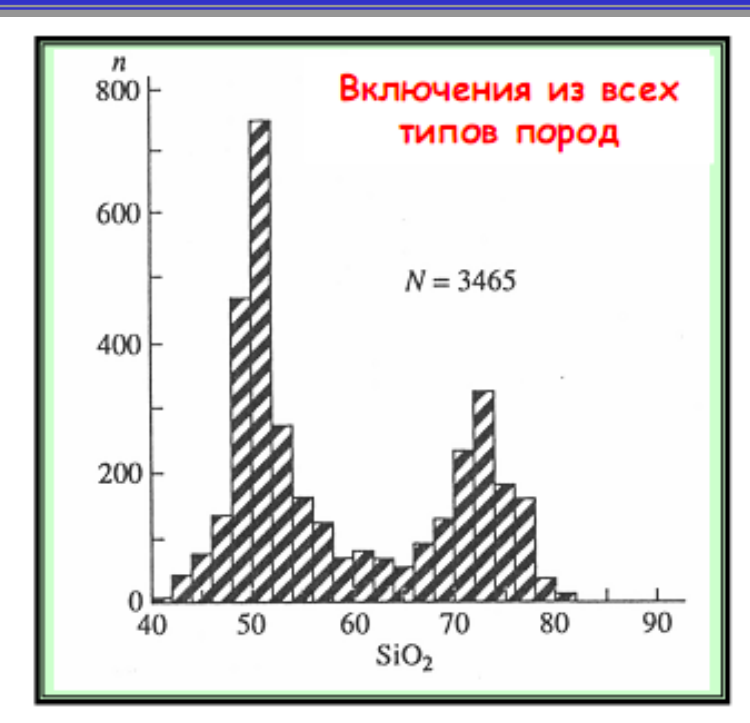
Sr/Nd систематика вулканических пород Андской окраины как сигнал ассимиляции



ВНУТРИКОРОВОЕ СМЕШЕНИЕ МАГМ



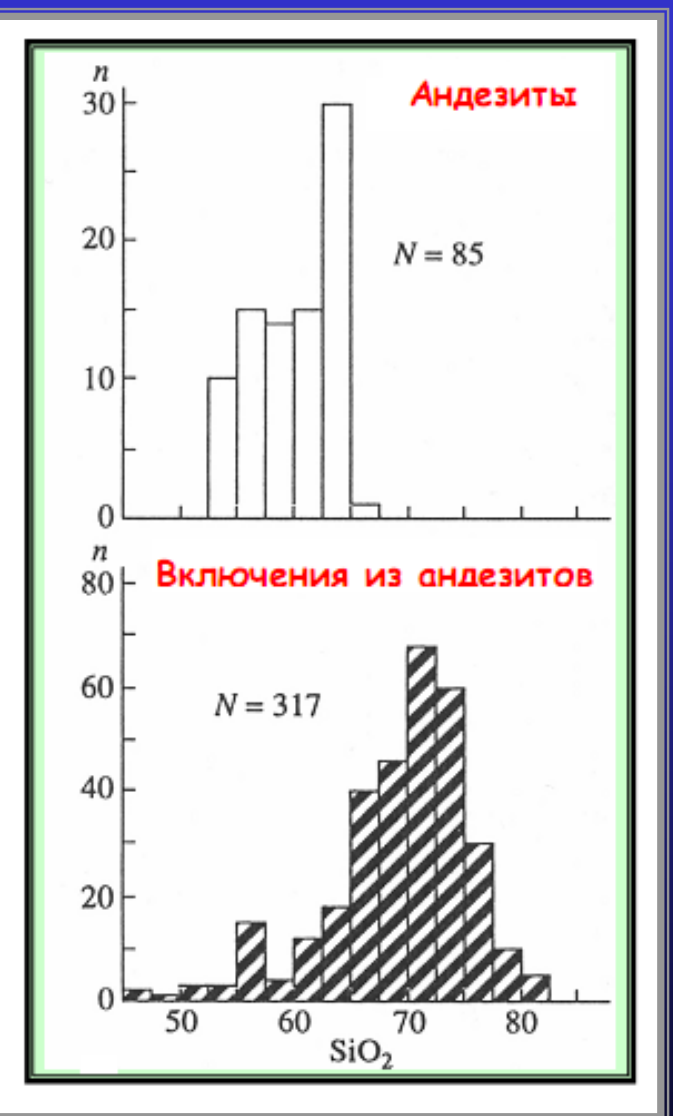
Вспомним историю про расплавные включения



Гистограммы содержаний SiO₂ в расплавных включениях из главных типов магматических пород

Гистограммы содержаний SiO₂ в андезитах и расплавных включениях из андезитов





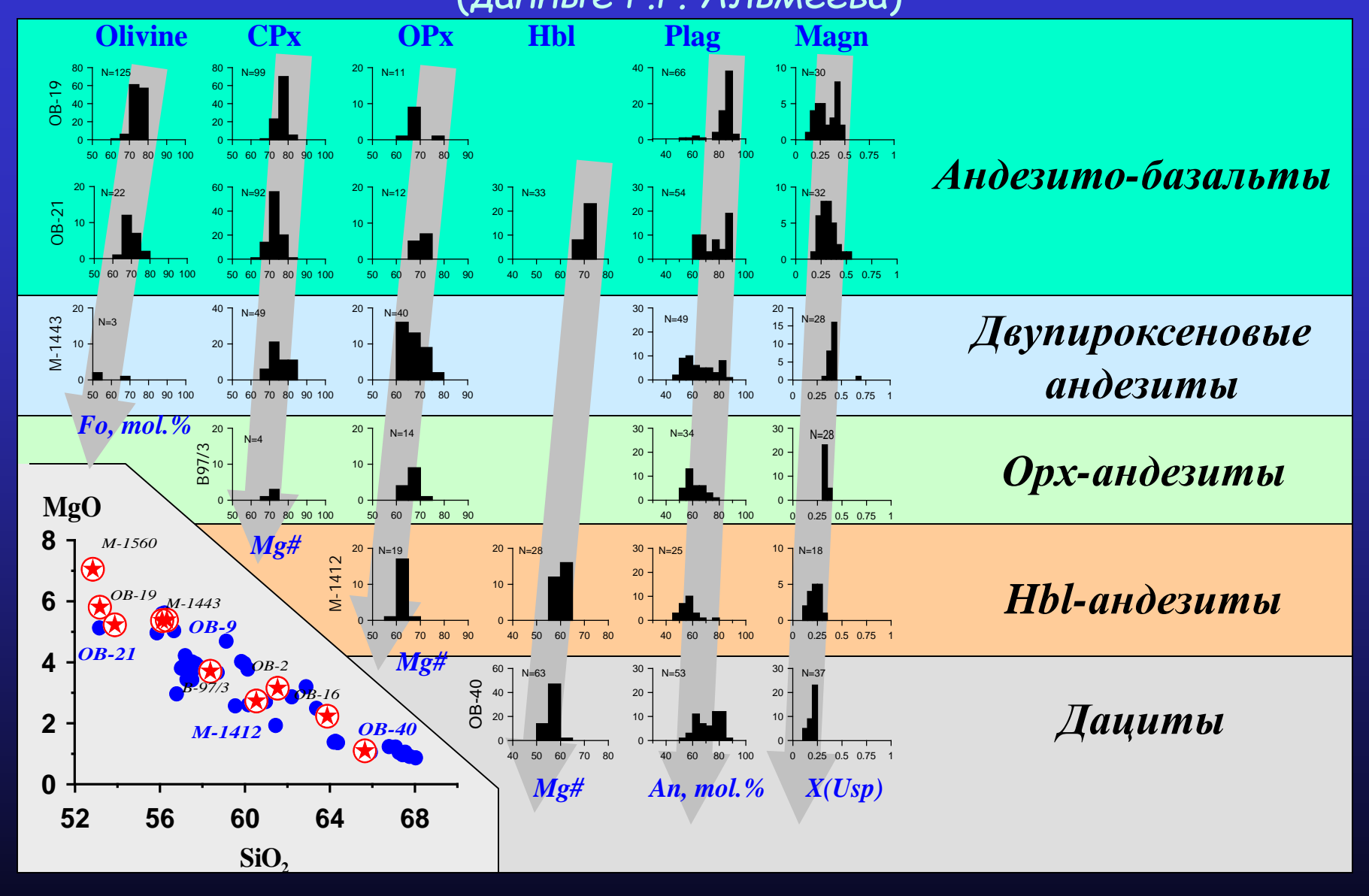
АРГУМЕНТЫ В ПОЛЬЗУ ФРАКЦИОНИРОВАНИЯ МАГМ

на объектах, где наблюдается бимодальность состава расплавных включений

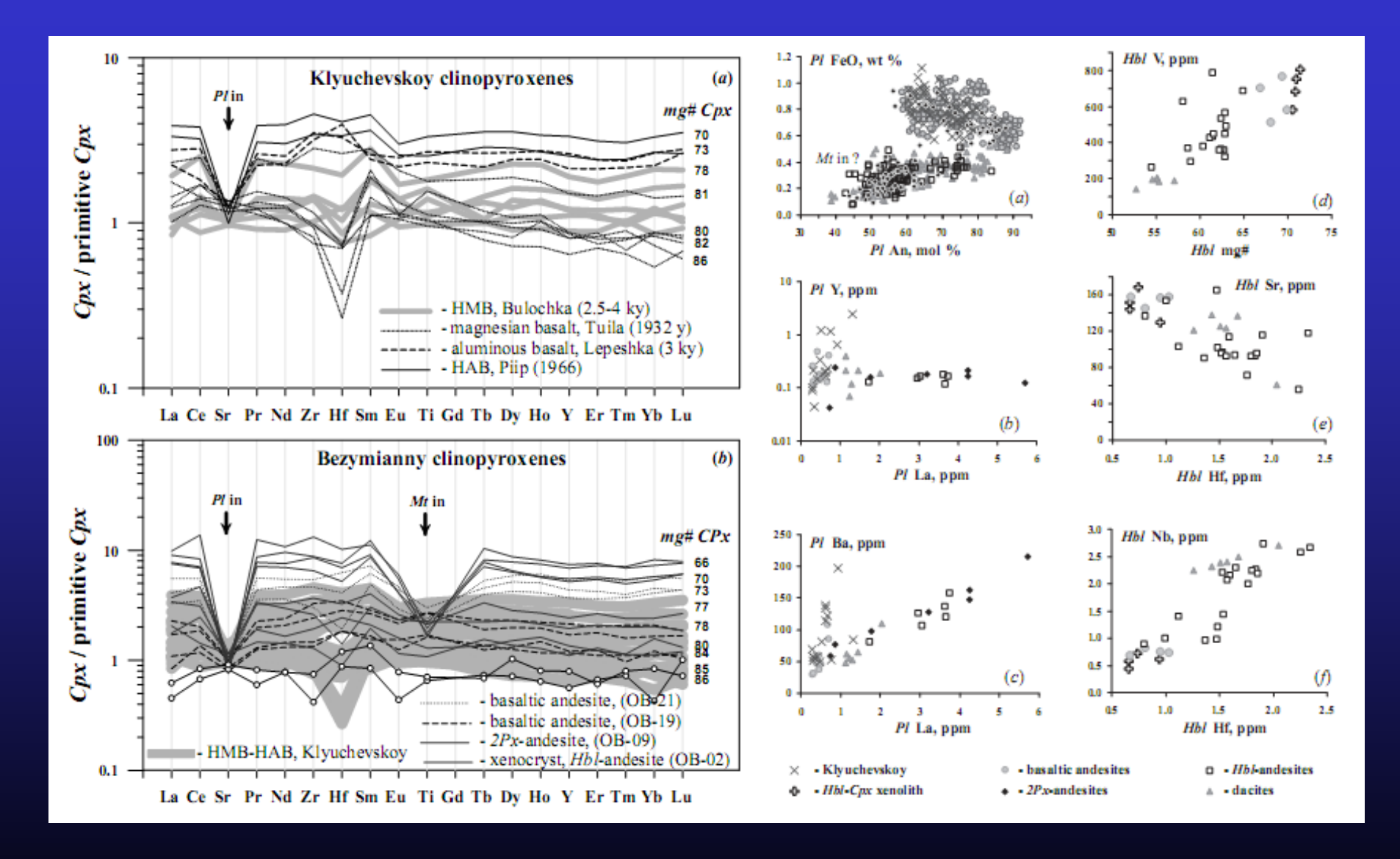
Вариации состава Срх в лавах влк. Безымянный (данные Р.Р. Альмеева)

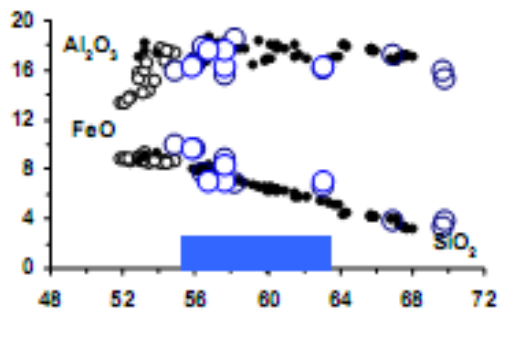
Sample	Grain	SiO ₂	TiO ₂	Al_2O_3	FeO	MnO	MgO	CaO	Na ₂ O	Mg#
B-21-1	148	51.6	0.5	1.8	12.0	0.5	13.8	19.5	0.4	0.67
B-21-1	128	50.5	0.8	2.6	11.3	0.3	14.7	19.5	0.3	0.70
B-21-1	142	51.0	0.7	2.5	11.0	0.4	14.6	19.6	0.3	0.70
B-21-1	124	51.4	0.7	2.3	10.8	0.4	14.9	19.1	0.3	0.71
B-21-1	119	49.5	0.7	5.0	9.6	0.2	13.8	20.9	0.3	0.72
B-21-1	77	51.5	0.8	2.7	9.9	0.4	14.3	20.2	0.3	0.72
B-21-1	57	51.0	0.8	2.2	9.8	0.5	15.1	20.4	0.3	0.73
B-21-1	157	50.5	0.7	4.3	9.0	0.2	14.1	20.8	0.4	0.74
B-21-1	92	50.1	0.5	4.7	8.7	0.3	14.3	21.0	0.3	0.75
B-21-1	117	50.9	0.5	3.8	8.6	0.4	14.7	20.9	0.3	0.75
B-21-1	147	51.3	0.5	3.5	8.5	0.3	14.7	20.8	0.3	0.76
B-21-1	62	51.0	0.6	4.5	7.5	0.2	14.2	21.7	0.3	0.77
B-21-1	104	51.2	0.4	3.3	7.2	0.2	15.7	21.6	0.3	0.79
B-21-1	133	52.2	0.4	3.4	6.8	0.2	15.2	21.5	0.3	0.80
M-1560	97	54.7	0.1	1.9	4.1	0.1	18.0	20.3	0.3	0.89
M-1560	108	54.1	0.5	1.8	3.7	0.2	18.0	20.6	0.3	0.90
M-1560	13	54.9	0.1	1.6	3.5	0.1	17.9	21.0	0.3	0.90

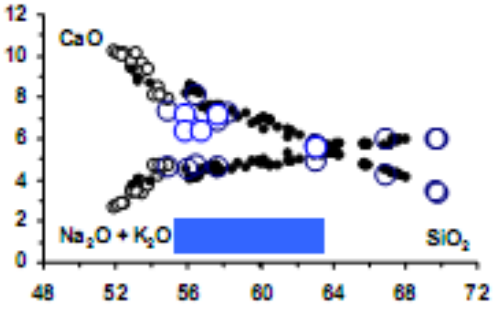
Составы вкрапленников в лавах влк. Безымянный (данные Р.Р. Альмеева)

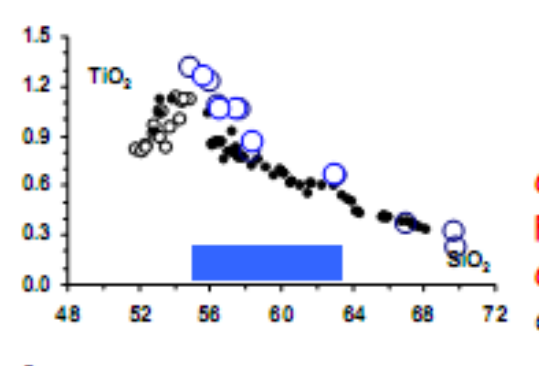


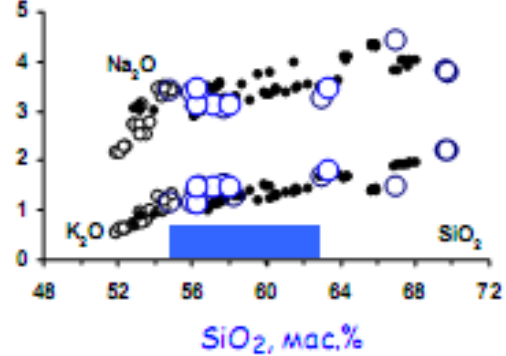
Вариации микроэлементного состава вкрапленников в лавах влк. Безымянный (данные Р.Р. Альмеева)











ФАВНЕНИЕ СОСТАВОВ ОСНОВНОЙ МАССЫ И ВАЛОВОГО СОСТАВА ПОРОД ВУЛКАНА БЕЗЫМЯННЫЙ

Андезито-базальты, андезиты и а дациты влк. Безымянный

Основные массы этих пород, рассчитанные по данным модального анализа

Базальты влк, Ключевской

РАСЧЕТ СОСТАВА ОСНОВНОЙ МАССЫ ПОРОДЫ

Если известны:

Св - валовый состав породы
Fм - доля фенокристаллов
См - средневзвешенный
состав фенокристаллов, то

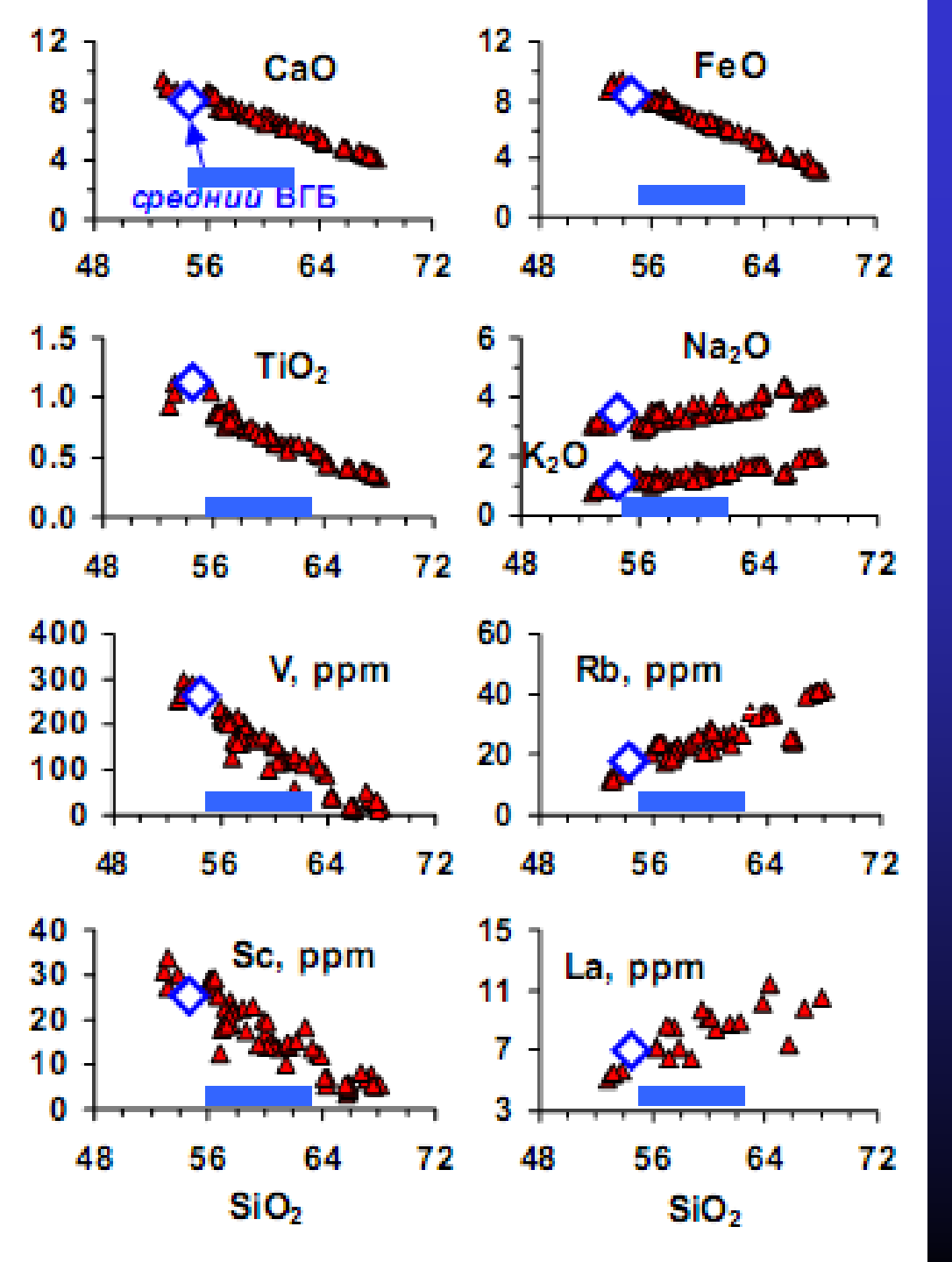
состав основной массы (магматического расплава)

$$C_{M} = (C_{B} - F_{M} C_{M})/(1-F_{M})$$

Генетическое значение состава основной массы породы

Наши оценки состава основных масс для андезито-базальтов и андезитов влк. Безымянный однозначно указывают на системы среднего состава с содержанием SiO₂ 56-63 мас.%.

Тогда как данные по расплавным включениям дают систематически более кислый состав – около 70% SiO₂.



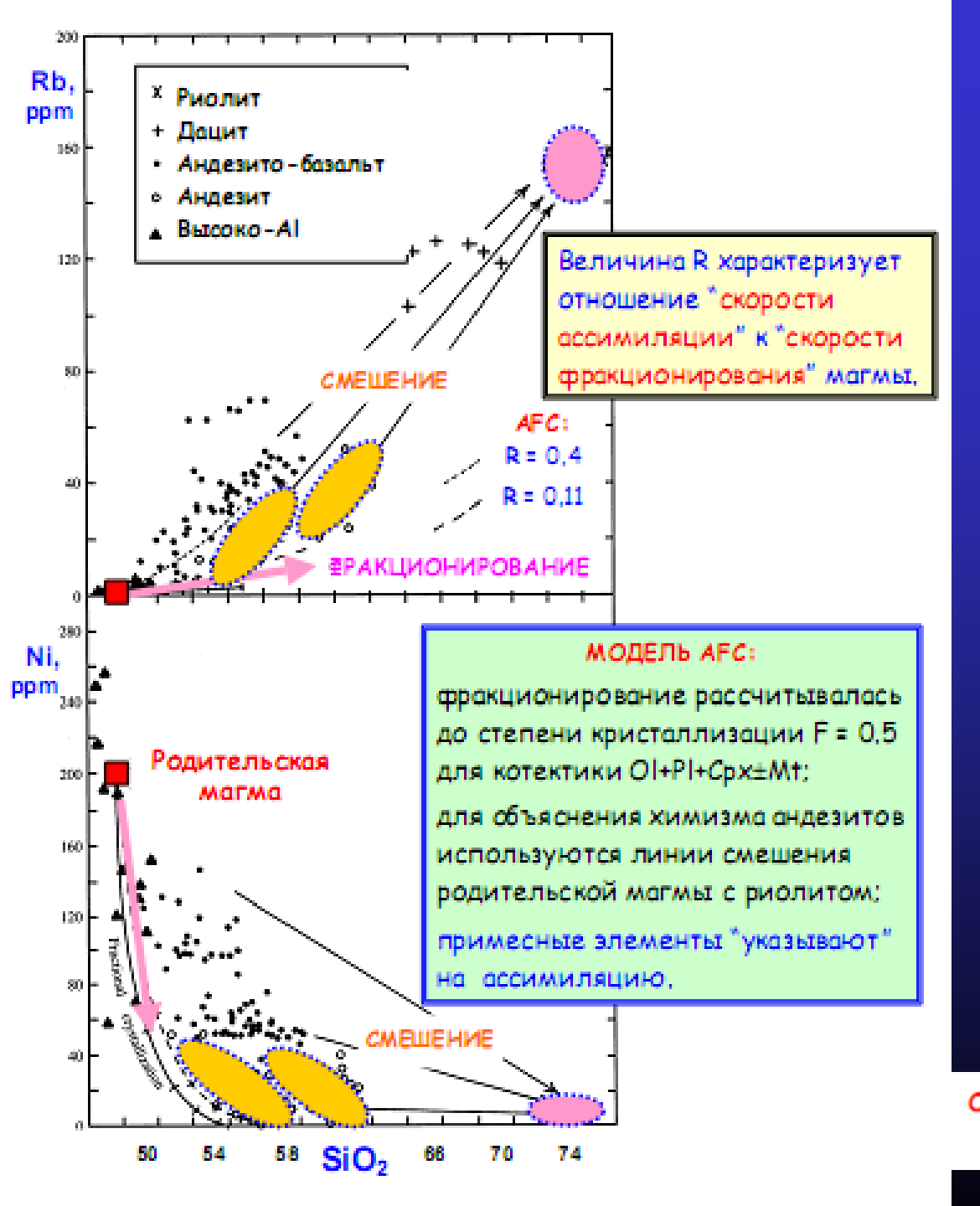
Геохимические свидетельства фракционной кристаллизации

Вариации состава лав вулкана Безымянный

Дополнительные замечания касательно ВГБ

- 1. В отличие от островных дуг исходные базальтовые магмы Восточно-Тихоокеанского типа несут признаки более обогащенного источника, т.е. характеризуются повышенной степенью накопления щелочей, фосфора, титана и крупно-ионных литофильных элементов.
- 2. Эволюция этих расплавов приводит к формированию относительно глубинных высокоглиноземистых магм базальтового состава, которые кристаллизуются при повышенной фугитивности кислорода и содержаниях летучих компонентов.
- 3. Это обусловливает раннюю кристаллизацию магнетита и роговой обманки; как результат накопление кремнезема в производных расплавах.
- 4. Различия между вулканическими сериями в конкретных областях могут проявляться в том, что наиболее дифференцированные члены несут большую степень контаминированности коровым материалом, что проявляется в изотопном составе и геохимии кислых вулканитов

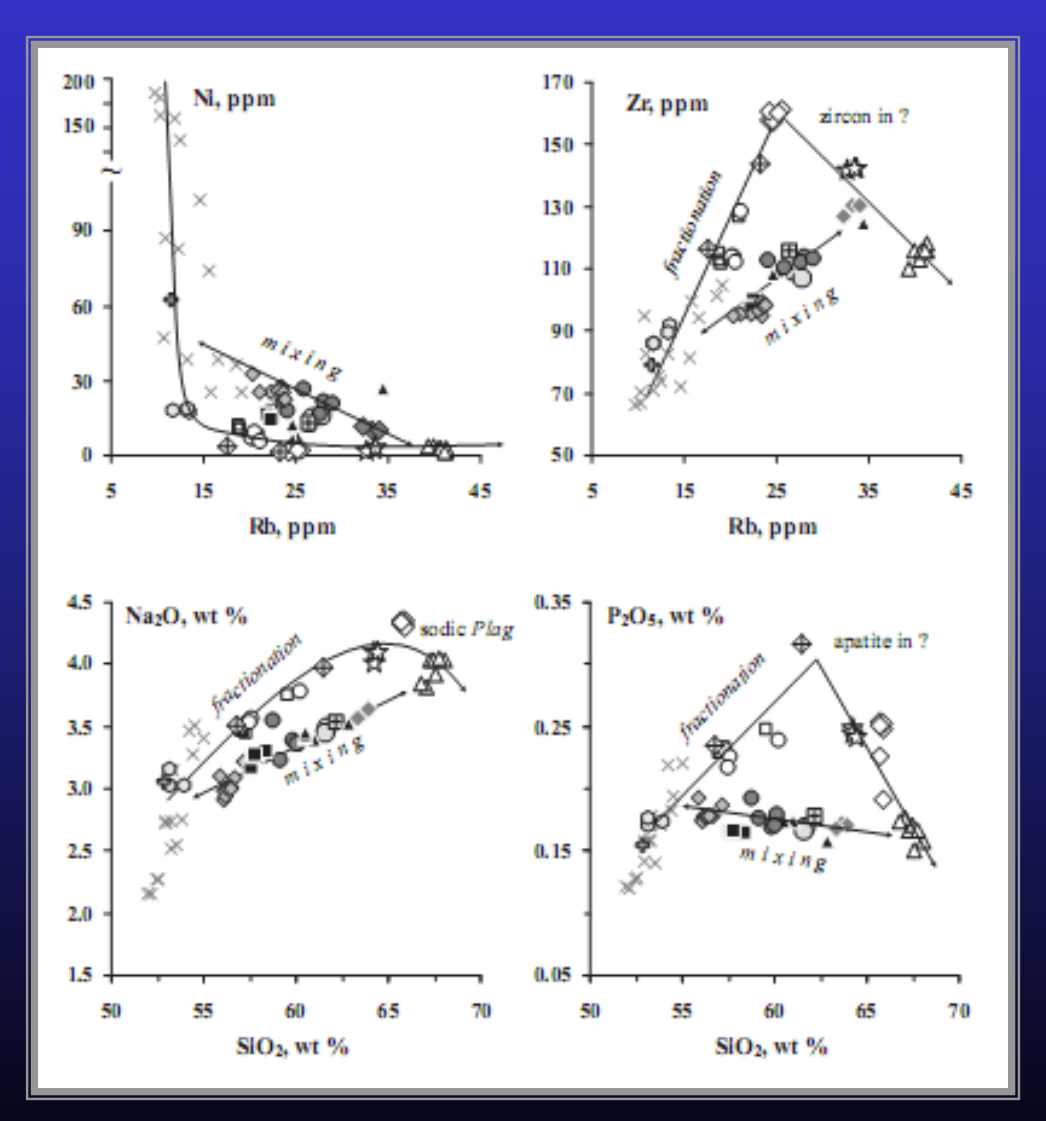
В ПОЛЬЗУ СМЕШЕНИЯ МАГМ



Схемы комбинированного фракционирования (АFC-модели)

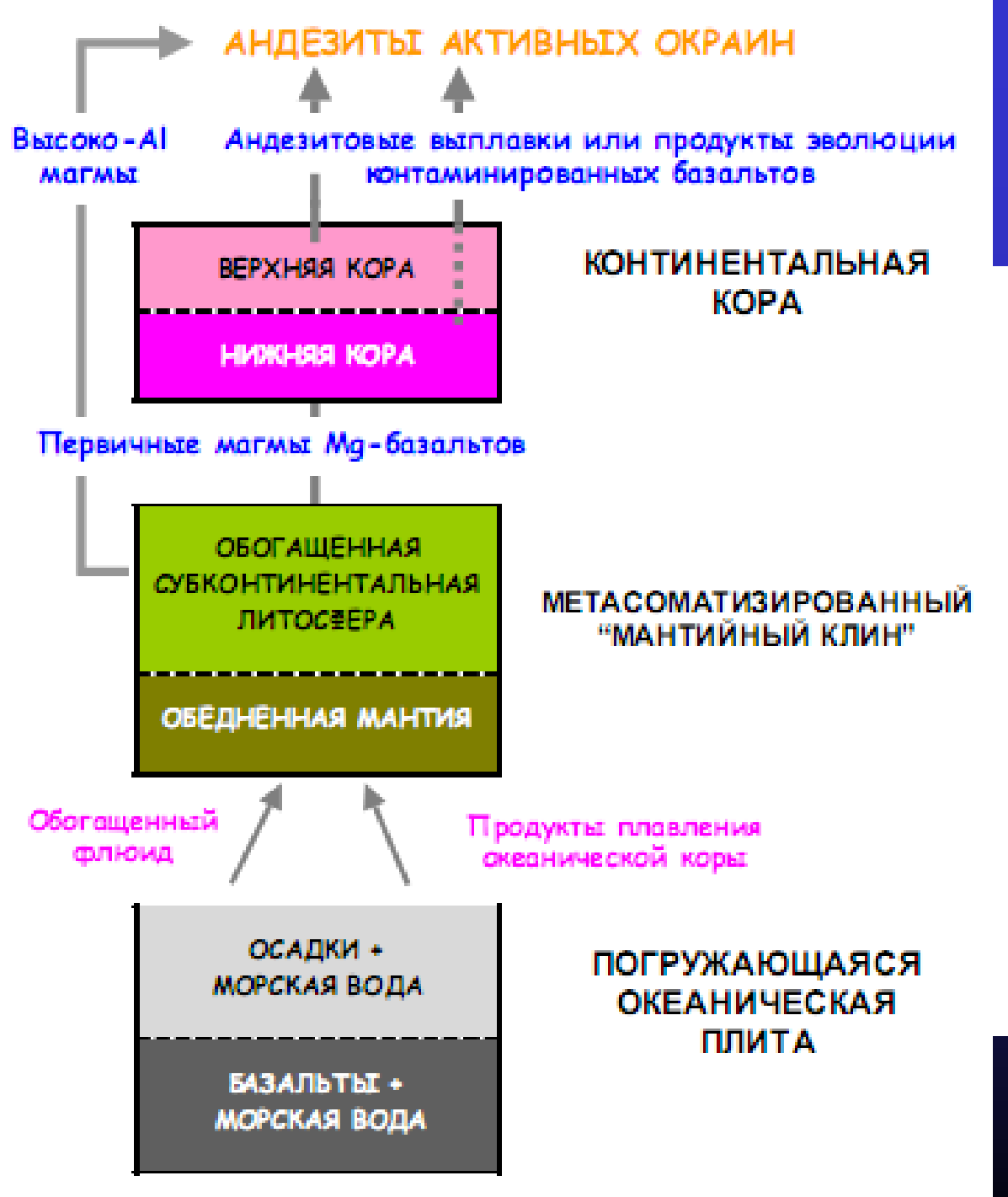
ОСОБЕННОСТИ СОСТАВА ЧЕТВЕРТИЧНЫХ ЛАВ влк. Медисэйн-Лейк (Сев. Калифорния)

Расшифровка и разграничение трендов фракционирования и смешения на примере андезитов и дацитов влк. Безымянный





мантийны**Е** ПРОЦЕССЫ образования андезитовых магм



Схемы образования андезитовых магм

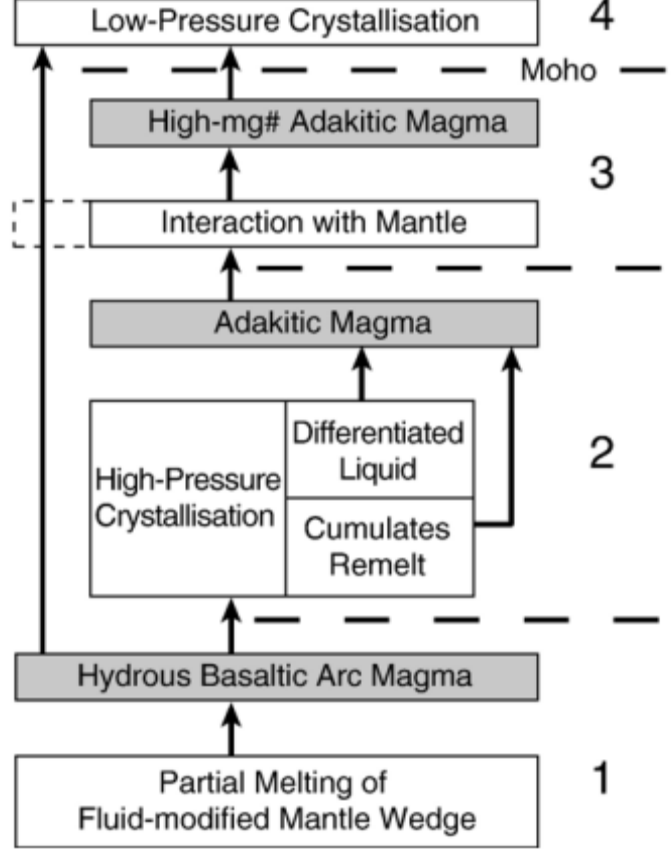
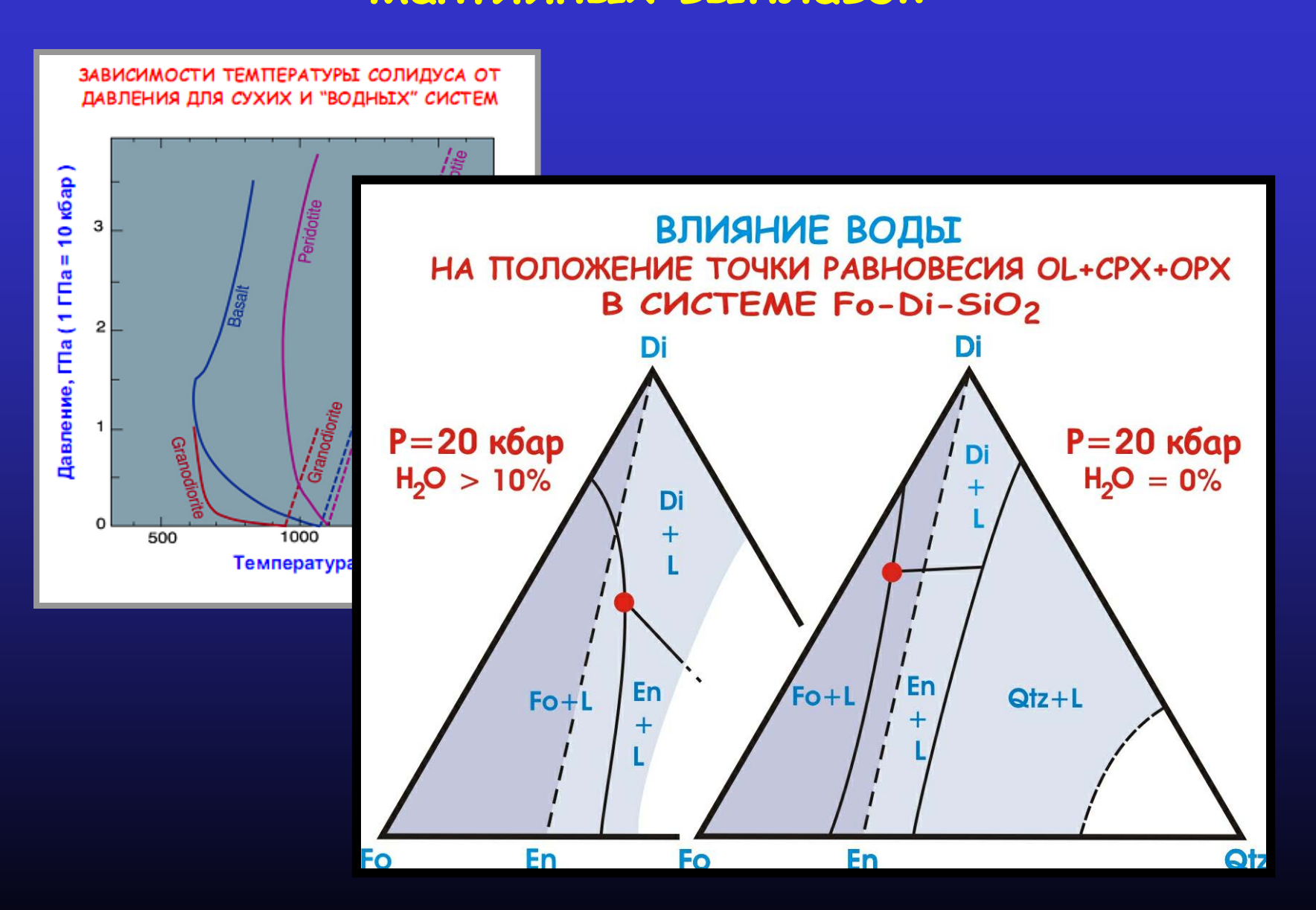


Схема образования адакитов (Macpherson et al., 2006)

Механизмы мантийного образования андезитов

- 1. Непосредственное выплавление андезитов в области мантийного клина (в надсубдукеционной мантии)
- 2. Частичное плавление метаморфизованного вещества погружающейся океанической плиты

Влияние воды и давления на температуру и состав мантийных выплавок



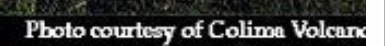


Мексиканский вулканический пояс



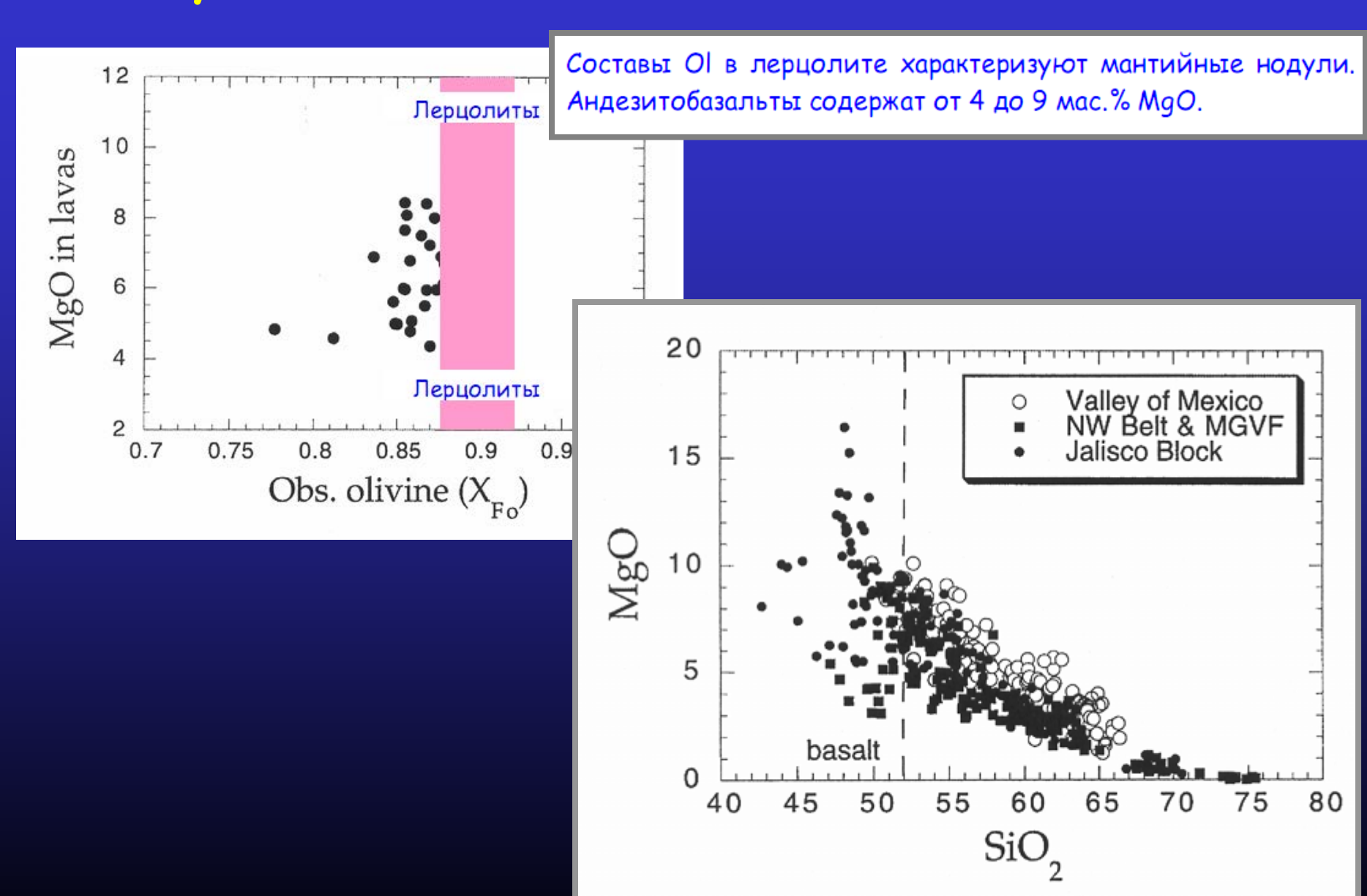
Вулкан Колима (Colima) в Западной Мексике







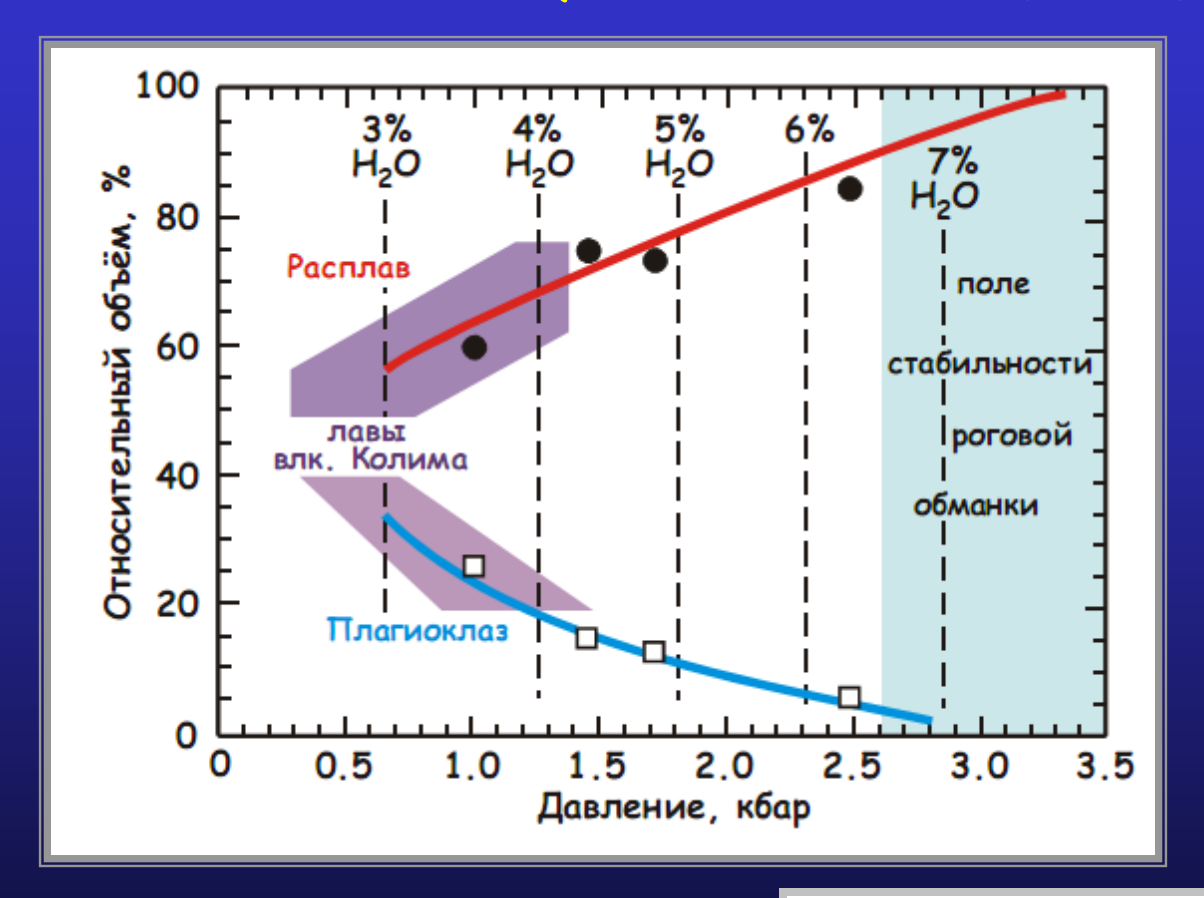
Состав оливина и изверженных пород в вулканических полях Западной Мексики



ДОПОЛНИТЕЛЬНЫЕ ШТРИХИ к истории эволюции андезитовых магм

Соотношения количеств PI и расплава

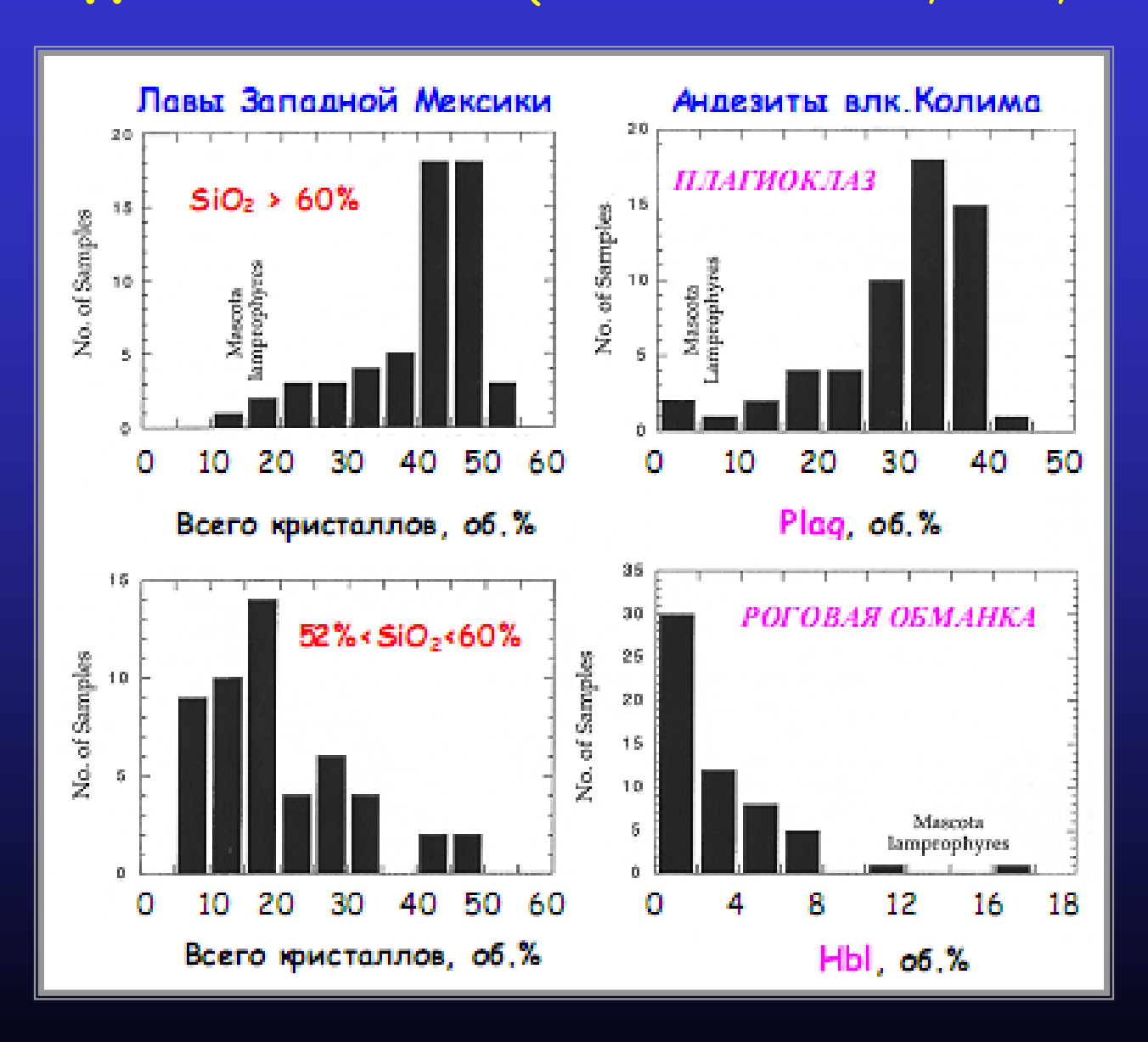
по данным экспериментов с водонасыщенным андезитом при 950±25°C (Luhr & Carmichael, 1980, 1990)



Зашрихован диапазон содержаний фенокристаллов в андезитовых лавах вулкана Колима.

Предполагается, что с глубин изначально поступала магма роговообманковых андезитов, содержащая небольшое количество кристаллов.

Модальный состав лав вулкана Колима и вулканитов Западной Мексики (Luhr & Carmichael, 1980, 1990)



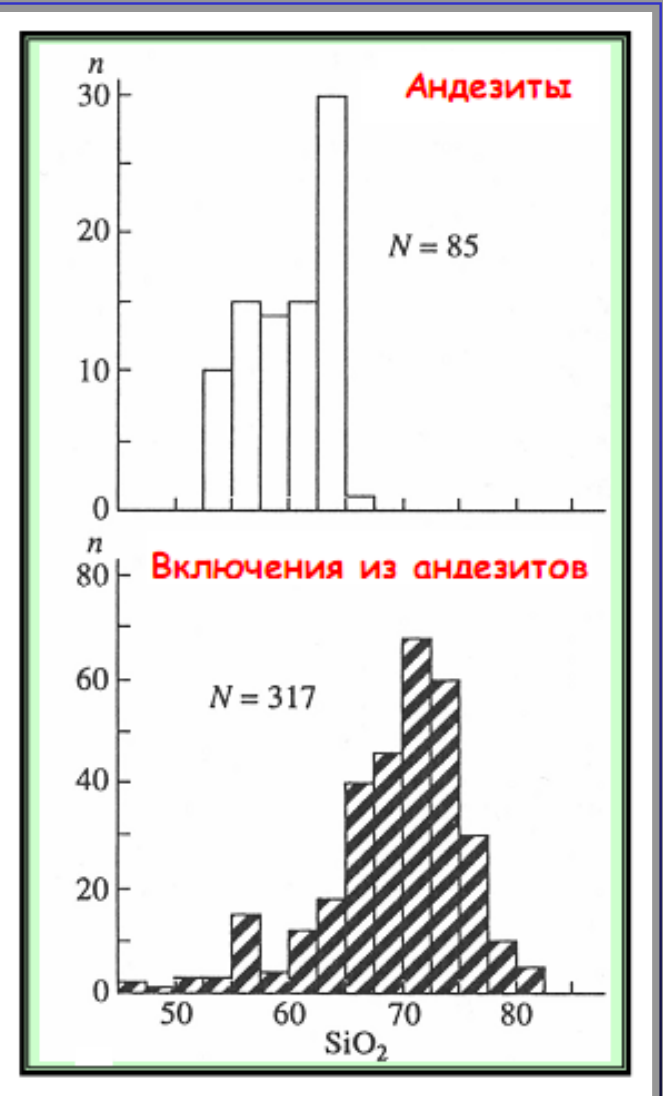
Распределение составов расплавных включений



Гистограммы содержаний SiO_2 в расплавных включениях из главных типов магматических пород

Гистограммы содержаний SiO₂ в андезитах и расплавных включениях из андезитов





Возможные спекуляции ...

Другой важный результат этого анализа состоит в том, что декомпрессионный механизм предполагает сброс более 80% магматической воды в нижних горизонтах земной коры.

Это может являться фактором резкого понижения температуры солидуса коровых пород и формирования долгоживущих магматических очагов.

Отсюда – возможность подмешивания коровых расплавов к продуктам кристаллизации мантийных магм и проявление признаков контаминации коровым материалом.